

УДК 631.316.22

ВИЗНАЧЕННЯ СИЛИ ТА ЕНЕРГОЄМНОСТІ КОМБІНОВАНОГО РІЗАННЯ ПРИ РОЗРОБЦІ ГРУНТУ НА КРИТИЧНУ ГЛИБИНУ

**С.В. Кравець, проф., д.т.н., Р.В. Зоря, асист., О.В. Стіньо, асист.,
Національний університет водного господарства та природокористування,
м. Рівне, І.Г. Пімонов, доц., к.т.н.,
Харківський національний автомобільно-дорожній університет**

Анотація. Стаття присвячена математичному моделюванню процесів різання та розпушенння ґрунту для отримання аналітичної залежності визначення сили комбінованого різання ґрунту та коефіцієнта енергоємності процесу розпушування з урахуванням фізико-механічних властивостей ґрунту.

Ключові слова: кут різання, глибина розпушенння, ширина різання, критична глибина, сила різання, комбіноване різання, коефіцієнт енергоємності.

ОПРЕДЕЛЕНИЕ СИЛЫ И ЭНЕРГОЕМКОСТИ КОМБИНИРОВАННОГО РЕЗАНИЯ ПРИ РАЗРАБОТКЕ ГРУНТА НА КРИТИЧЕСКУЮ ГЛУБИНУ

**С.В. Кравец, проф., д.т.н., Р.В. Зоря, асист., О.В. Стіньо, асист.,
Национальный университет водного хозяйства и природоиспользования,
г. Ровно, И.Г. Пимонов, доц., к.т.н.,
Харьковский национальный автомобильно-дорожный университет**

Аннотация. Статья посвящена математическому моделированию процессов резки и разрыхления почвы для получения аналитической зависимости определения силы комбинированного резания грунта и коэффициента энергоемкости процесса рыхления с учетом физико-механических свойств грунта.

Ключевые слова: угол резания, глубина рыхления, ширина резания, критическая глубина, сила резания, комбинированное резание, коэффициент энергоемкости.

DETERMINATION OF FORCES AND POWER CONSUMPTION FOR COMBINED CUTTING WHILE EXCAVATING THE SOIL TO THE CRITICAL DEPTH

**S. Kravets, D. Sc. (Eng.), R. Zoria, T. Asst., O. Stinio, T. Asst.,
National University of Water Management and Nature Resources Use, Rivne ,
I. Pimonov, Assoc. Prof., Ph. D. (Eng.),
Kharkiv National Automobile and Highway University**

Abstract. The article deals with mathematical modeling of cutting and loosening the soil to obtain the analytical dependence determining the strength of the combined cutting and soil loosening process and the energy intensity factor considering the physical and mechanical properties of the soil.

Key words: cutting angle, depth of ripping, cutting width, critical depth, cutting force, combined cutting, coefficient of energy intensity.

Вступ

Основні параметри розпушувачів ґрунту визначаються за умови, що сила різання і кое-

фіцієнт енергоємності розпушування ґрунту є мінімальними. Для забезпечення мінімальної енергоємності процесу розпушування

грунту обґрунтування параметрів робочих органів необхідно проводити з урахуванням критичної глибини розпушування, оскільки розпушування ґрунту на критичній глибині забезпечує найменшу енергоємність. Отже постає необхідність визначити сили комбінованого різання і коефіцієнт енергоємності розпушування на критичній глибині.

Аналіз публікацій

Дослідження сили блокованого різання ґрунту розглядалося в роботах Ю.О. Ветрова, А.М. Зеленіна, В.В. Соколовського, В.П. Горячкіна та інших. Однак отримані залежності не враховують руйнування ґрунту на критичній глибині різання і є експериментальними. Найменша енергоємність процесу розпушування ґрунту забезпечується при його розробці на критичну глибину [2, 3]. Отримано математичні залежності для визначення сили та енергоємності блокованого різання ґрунту на критичній глибині у дослідженнях С.В. Кравця [4].

Мета і постановка завдання

Маємо за мету визначення аналітичним методом сили та коефіцієнта енергоємності комбінованого різання ґрунту на критичній глибині різання.

Визначення сили та енергоємності комбінованого різання

Для суцільного розпушення ґрунту на глибину до 0,6 м розроблено конструкцію двоярусного глибокорозпушувача (рис. 1).

Для визначення сили та енергоємності руйнування ґрунту двоярусним глибокорозпушувачем необхідно виділити систему з п'яти ґрунторозробних органів як мінімальну кількість ґрунторозробних органів, за якої відбувається комбіноване суцільне розпушування ґрунту.

Два ґрунторозробні органи 1 працюють при блокованому різанні у верхньому ярусі. Вони створюють умови для ґрунторозробного органу 2, який здійснює комбіноване різання ґрунту на повну глибину розпушування II (верхній ярус – вільне різання, нижній ярус – блоковане різання).

Після проходження двох ґрунторозробних органів у верхньому ярусі й одного – у нижньому залишаються ділянки нерозпушеної ґрунту в нижньому ярусі III, які розпушуються двома ґрунторозробними органами 3, що розміщені на одній осі із ґрунторозробними органами у верхньому ярусі I і здійснюють вільне різання на глибину робочого органу другого ярусу 2.

Для визначення сили комбінованого різання ґрунту розглянемо процес руйнування ґрунту сколом на основі схеми (рис. 2). При цьому як вихідні умови візьмемо:

- 1) ґрунт – однорідне ізотропне середовище, яке характеризується зчепленням, внутрішнім і зовнішнім тертям, щільністю і вологістю;
- 2) елемент стружки розглядаємо як тверде тіло у вигляді двох трикутних призм із двома симетричними конічними секторами по боках (рис. 2, в);
- 3) впливом швидкості різання на опір його руйнування знехтуємо [1];
- 4) закон розподілу нормального тиску на лобову поверхню ножа в зоні сколювання ґрунту у верхньому і нижньому ярусах беремо лінійним по глибині [5];
- 5) критична глибина є постійною незалежно від того, чи працює землерийний робочий орган в режимі заглиблення, чи у сталому режимі.

Для визначення сили комбінованого різання спроектуємо всі сили на вісь OX

$$\begin{aligned} \sum P_{ox} = & -dN_{c.bl} \cdot \sin \psi - \\ & -dN_{c.v} \cdot \sin \psi - dT_{c.bl} \cdot \cos \psi - \quad (1) \\ & -dT_{c.v} \cdot \cos \psi - 2dT_{bok.bl} + \\ & +dN' \cdot \sin(\alpha_p + \varphi) \cdot \sin \psi = 0, \end{aligned}$$

де $dN_{c.v}$, $dN_{c.bl}$ – нормальні реакції для вільного та блокованого різання; dN' , dN – елементарні нормальні сили на робочу поверхню ідеального клина та ножа, $dN' = \frac{dN}{\cos \varphi}$; $dT_{c.v}$, $dT_{c.bl}$, $2dT_{bok.bl}$ – дотичні сили для вільного і блокованого різання у плошинах зсуву ґрунту; φ – кут зовнішнього тертя ґрунту; α_p – кут різання ґрунторозробного органу; ψ – кут повздовжнього сколу ґрунту.

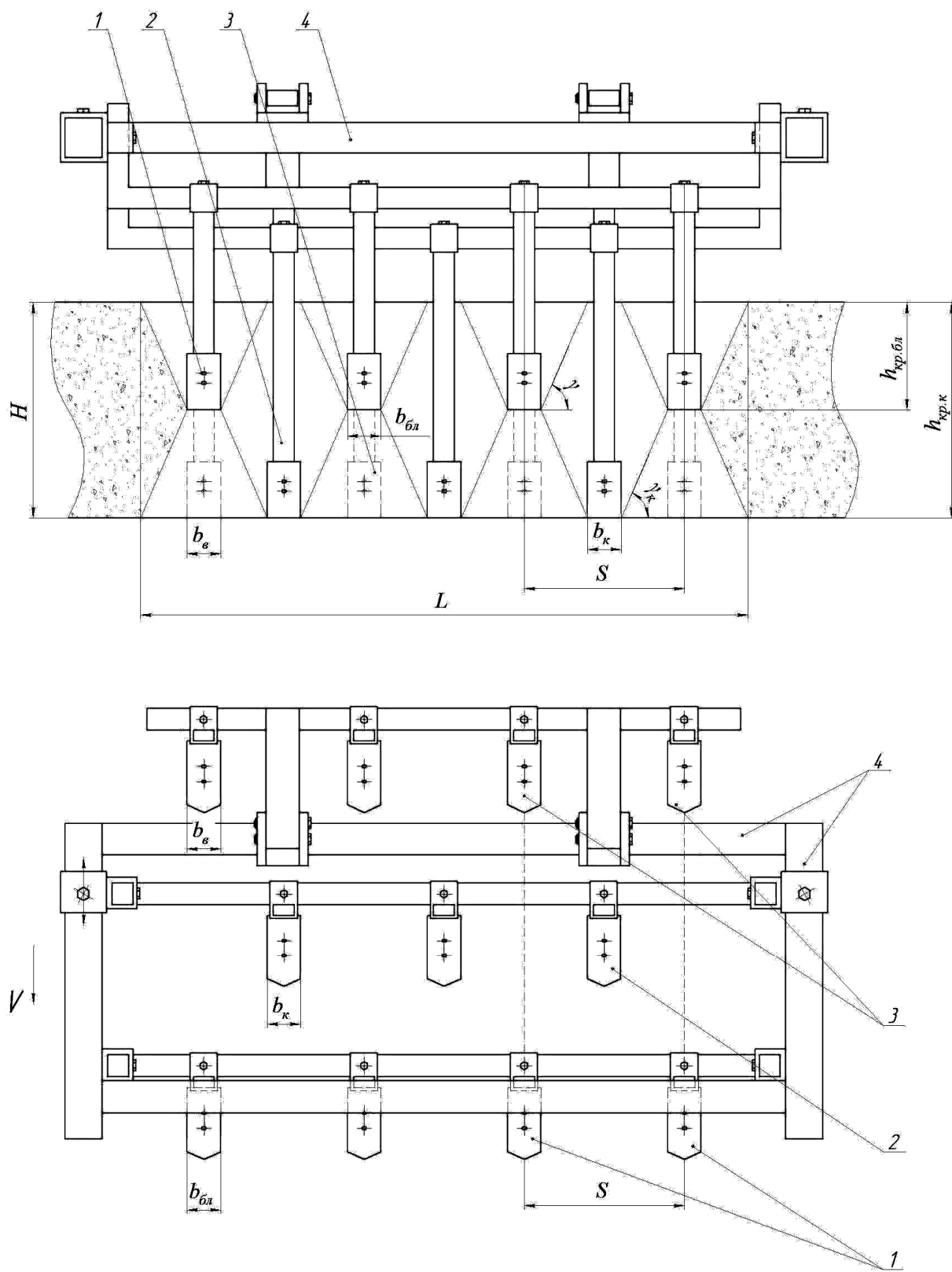


Рис. 1. Вигляд двоярусного глибокорозпушувача: а – спереду; б – зверху; 1 – зона блокованого різання ґрунту; 2 – зона комбінованого різання ґрунту; 3 – зона вільного різання ґрунту; 4 – рама глибокорозпушувача; S – крок розміщення ґрунторозробних органів у верхньому ярусі; L – ширина захвату ґрунту

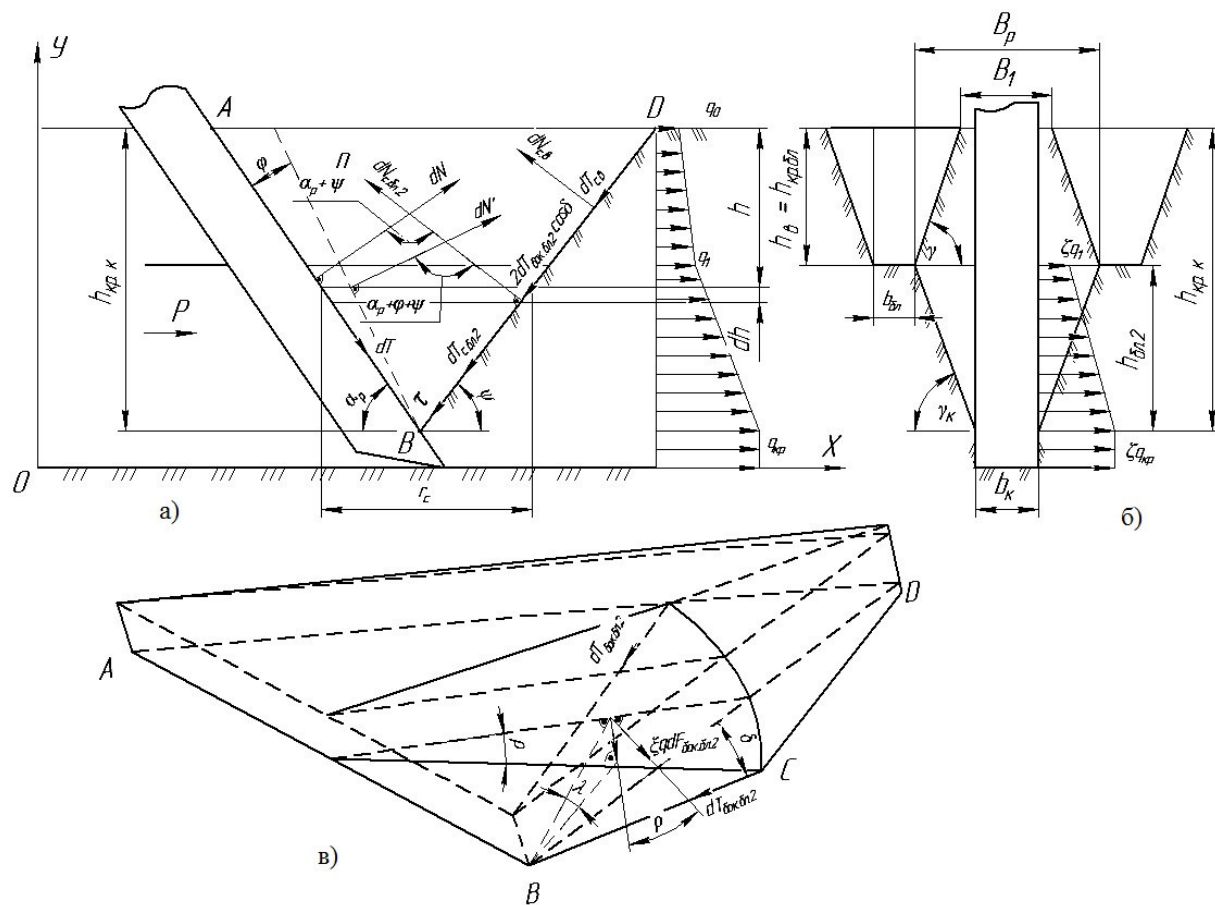


Рис. 2. Схема взаємодії ножа із ґрутовим середовищем при комбінованому різанні ґрунту:
а – у повздовжній площині; б – у поперечній площині; в – форма елемента стружки у процесі заглиблення ножа

Після підстановки значень $dN_{c,b}$, $dN_{c,b}$, $dT_{c,b}$, $dT_{c,b}$, dN' [2], [4] отримаємо рівняння

$$\begin{aligned}
 & \frac{\cos(\alpha_p + \varphi + \psi)}{\cos \varphi \cdot \sin \alpha_p} b_k \cdot q_0 \cdot \left(1 + \frac{h}{b_k} \operatorname{ctg} \gamma \right) dh \cdot \sin \psi + \\
 & + \frac{\cos(\alpha_p + \varphi + \psi)}{\cos \varphi \cdot \sin \alpha_p} b_k \left(q_b + \frac{q_{kp} - q_b}{h_{bok,2}} \times \right. \\
 & \quad \left. \times k_{nep} h \right) dh \cdot \sin \psi + \\
 & + \operatorname{tg} \varphi_0 \frac{\cos(\alpha_p + \varphi + \psi)}{\cos \varphi \cdot \sin \alpha_p} b_k \cdot q_0 \times \\
 & \quad \times \left(1 + \frac{h}{b_k} \operatorname{ctg} \gamma \right) dh \cdot \cos \psi - \\
 & - c \cdot \left(\frac{2h_{bok,2} \cdot \operatorname{ctg} \gamma_k - 2h_b \operatorname{ctg} \gamma +}{b_k + 2h \cdot \operatorname{ctg} \gamma} \right) \frac{dh}{\sin \psi} \cdot \cos \psi + \\
 & + \operatorname{tg} \varphi_0 \frac{\cos(\alpha_p + \varphi + \psi)}{\cos \varphi \cdot \sin \alpha_p} b_k \times
 \end{aligned} \tag{2}$$

$$\begin{aligned}
 & \times \left(q_b + \frac{q_{kp} - q_b}{h_{bok,2}} k_{nep} h \right) dh \cdot \cos \psi - \\
 & - c \cdot \left(\frac{2\rho (\operatorname{ctg} \alpha_p + \operatorname{ctg} \psi) \times}{(h_{bok,2} - h) + b_k} \right) \frac{dh}{\sin \psi} \cdot \cos \psi - \\
 & - 2 \cos \delta \cdot c \cdot (\operatorname{ctg} \alpha_p + \operatorname{ctg} \psi) (h_{bok,2} - h) \frac{dh}{\cos \lambda} \cdot \cos \psi + \\
 & + 2 \cos \delta \cdot \zeta \left(q_b + \frac{q_{kp} - q_b}{h_{bok,2}} k_{nep} h \right) (h_{bok,2} - h) \frac{dh}{\cos \lambda} \times \\
 & \quad \times \cos \varphi \cdot \cos \lambda \cdot \cos \psi \cdot \operatorname{tg} \varphi_0 (\operatorname{ctg} \alpha_p + \operatorname{ctg} \psi) + \\
 & + dN' \cdot \sin(\alpha_p + \varphi) \sin \psi = 0,
 \end{aligned}$$

де γ – кут нахилу бічних стінок прорізу до горизонту; φ_0 – кут внутрішнього тертя; b_k – ширина ґруторозробного робочого органу при комбінованому різанні ґрунту; h_b – глибина вільного різання ґрунту; $h_{bok,2}$ – глибина блокованого різання ґрунту у нижньому ярусі; h – поточне значення глибини; δ , ρ , λ – кути, які утворюються боковою площинкою

сколювання з вертикальною площинами; $k_{\text{неп}}$ – відношення глибини зони гарантованого сколювання ґрунту до повної глибини різання ($k_{\text{неп}}=0,9-0,95$); ζ – коефіцієнт бокового тиску; q_0 – мінімальне значення тиску, який діє на денній поверхні; $q_{\text{кр}}$ – максимальне можливе значення тиску за несучою спроможністю ґрунту, за якого він втрачає свою стійкість; $q_{\text{в}}$ – значення тиску ґрунту при вільному різанні у верхньому ярусі (при $h=h_{\text{кр.бл}}^*$); c – питома сила зчеплення (коефіцієнт зчеплення).

Проінтегрувавши рівняння (2) для $dN_{\text{c.b}}, dT_{\text{c.b}}$ в межах від 0 до $h_{\text{в}}$ для $dN_{\text{c.бл}}, dT_{\text{c.бл}}, dT_{\text{бок.бл}}$ в межах від 0 до $h_{\text{бл.2}}$, отримаємо

$$\begin{aligned}
 & \frac{\cos(\alpha_p + \varphi + \psi)}{\cos \varphi \cdot \sin \alpha_p} b_k \cdot h_{\text{в}} \cdot q_0 \cdot \left(1 + \frac{h_{\text{в}}}{2b_k} \operatorname{ctg} \gamma \right) \times \\
 & \quad \sin \psi + \frac{\cos(\alpha_p + \varphi + \psi)}{\cos \varphi \cdot \sin \alpha_p} b_k \times \\
 & \quad \times h_{\text{бл.2}} \left(q_{\text{в}} + \frac{q_{\text{кр}} - q_{\text{в}}}{2} k_{\text{неп}} \right) \times \\
 & \quad \sin \psi + \operatorname{tg} \varphi_0 \frac{\cos(\alpha_p + \varphi + \psi)}{\cos \varphi \cdot \sin \alpha_p} b_k \cdot h_{\text{в}} \cdot q_0 \times \\
 & \quad \times \left(1 + \frac{h_{\text{в}}}{2b_k} \operatorname{ctg} \gamma \right) \cdot \cos \psi - \\
 & \quad - c \cdot \left(\frac{2h_{\text{в}} h_{\text{бл.2}} \operatorname{ctg} \gamma_k - 2h_{\text{в}}^2 \operatorname{ctg} \gamma}{+b_k h_{\text{в}} + h_{\text{в}}^2 \operatorname{ctg} \gamma} \right) \cdot \operatorname{ctg} \psi - \\
 & \quad - \operatorname{tg} \varphi_0 \frac{\cos(\alpha_p + \varphi + \psi)}{\cos \varphi \cdot \sin \alpha_p} b_k \times \\
 & \quad \times \left(q_{\text{в}} + \frac{q_{\text{кр}} - q_{\text{в}}}{2} k_{\text{неп}} \right) \cos \psi + \\
 & \quad + c \cdot \left(b_k h_{\text{бл.2}} + h_{\text{бл.2}}^2 \rho (\operatorname{ctg} \alpha_p + \operatorname{ctg} \psi) \right) \times \\
 & \quad \times \operatorname{ctg} \psi + h_{\text{бл.2}}^2 \cos \delta \cdot c \cdot (\operatorname{ctg} \alpha_p + \operatorname{ctg} \psi) \frac{\cos \psi}{\cos \lambda} - \\
 & \quad - 2 \cos \delta \cdot \zeta \left(q_{\text{в}} \cdot \left(h_{\text{бл.2}}^2 - \frac{h_{\text{бл.2}}^2}{2} \right) + \right. \\
 & \quad \left. + \frac{q_{\text{кр}} - q_{\text{в}}}{h_{\text{бл.2}}} k_{\text{неп}} \left(\frac{h_{\text{бл.2}}^3}{2} - \frac{h_{\text{бл.2}}^3}{3} \right) \right) \times \\
 & \quad \times \cos \rho \cdot \cos \psi \cdot \operatorname{tg} \varphi_0 (\operatorname{ctg} \alpha_p + \operatorname{ctg} \psi) + \\
 & \quad + dN' \cdot \sin(\alpha_p + \varphi) \sin \psi = 0.
 \end{aligned} \tag{3}$$

Спростимо вираз (3)

$$\begin{aligned}
 P_k = & - \frac{\cos(\alpha_p + \varphi + \psi)}{\cos \varphi \cdot \sin \alpha_p} b_k \cdot h_{\text{в}} \cdot q_0 \times \\
 & \times \left(1 + \frac{h_{\text{в}}}{2b_k} \operatorname{ctg} \gamma \right) \cdot (\operatorname{tg} \varphi_0 \cos \psi + \sin \psi) - \\
 & - \frac{\cos(\alpha_p + \varphi + \psi)}{\cos \varphi \cdot \sin \alpha_p} b_k \cdot h_{\text{бл.2}} \times \\
 & \times \left(q_{\text{в}} + \frac{q_{\text{кр}} - q_{\text{в}}}{2} k_{\text{неп}} \right) \cdot (\operatorname{tg} \varphi_0 \cos \psi + \sin \psi) + \\
 & + c \cdot \left(2h_{\text{в}} h_{\text{бл.2}} \operatorname{ctg} \gamma_k - h_{\text{в}}^2 \operatorname{ctg} \gamma + b_k h_{\text{в}} \right) \times \\
 & \times \operatorname{ctg} \psi + c \cdot b_k h_{\text{бл.2}} \cdot \operatorname{ctg} \psi + \\
 & + h_{\text{бл.2}}^2 (\operatorname{ctg} \alpha_p + \operatorname{ctg} \psi) \times \\
 & \times \left(c \cdot \rho \cdot \operatorname{ctg} \psi + c \frac{\cos \delta \cos \psi}{\cos \lambda} \right) \times \\
 & \times 2 \cos \delta \cdot \zeta \cdot h_{\text{бл.2}}^2 \times \\
 & \times \left(\frac{3q_{\text{в}} + (q_{\text{кр}} - q_{\text{в}})}{6} k_{\text{неп}} \right) \cos \rho \times \\
 & \times \cos \psi \cdot \operatorname{tg} \varphi_0 (\operatorname{ctg} \alpha_p + \operatorname{ctg} \psi).
 \end{aligned} \tag{4}$$

Взявши заміну $h_{\text{бл.2}} = h_{\text{кр.к}} - h_{\text{в}}$, вираз (4) запишеться у вигляді

$$\begin{aligned}
 P_k = & - \frac{\cos(\alpha_p + \varphi + \psi)}{\cos \varphi \cdot \sin \alpha_p} b_k \cdot h_{\text{в}} \cdot q_0 \times \\
 & \times \left(1 + \frac{h_{\text{в}}}{2b_k} \operatorname{ctg} \gamma \right) \cdot (\operatorname{tg} \varphi_0 \cos \psi + \sin \psi) - \\
 & - \frac{\cos(\alpha_p + \varphi + \psi)}{\cos \varphi \cdot \sin \alpha_p} b_k \cdot (h_{\text{кр.к}} - h_{\text{в}}) \times \\
 & \times \left(q_{\text{в}} + \frac{q_{\text{кр}} - q_{\text{в}}}{2} k_{\text{неп}} \right) \cdot (\operatorname{tg} \varphi_0 \cos \psi + \sin \psi) + \\
 & + c \cdot \left(2h_{\text{в}} (h_{\text{кр.к}} - h_{\text{в}}) \operatorname{ctg} \gamma_k - \right. \\
 & \left. - h_{\text{в}}^2 \operatorname{ctg} \gamma + b_k h_{\text{в}} \right) \cdot \operatorname{ctg} \psi + \\
 & + c \cdot b_k (h_{\text{кр.к}} - h_{\text{в}}) \cdot \operatorname{ctg} \psi + \\
 & + (h_{\text{кр.к}} - h_{\text{в}})^2 (\operatorname{ctg} \alpha_p + \operatorname{ctg} \psi) \times \\
 & \times \left(c \cdot \rho \cdot \operatorname{ctg} \psi + c \frac{\cos \delta \cos \psi}{\cos \lambda} \right) \times \\
 & \times 2 \cos \delta \cdot \zeta \cdot (h_{\text{кр.к}} - h_{\text{в}})^2 \times
 \end{aligned} \tag{5}$$

$$\times \left(\frac{3q_b + (q_{kp} - q_b)}{6} k_{\text{пер}} \right) \cos \rho \times \\ \times \cos \psi \cdot \operatorname{tg} \varphi_0 (\operatorname{ctg} \alpha_p + \operatorname{ctg} \psi).$$

Провівши певні математичні перетворення, визначаємо силу комбінованого різання ґрунту на критичній глибині, з урахуванням бічного тиску та сили бічного тертя

$$P_k = - \frac{\cos(\alpha_p + \varphi + \psi)}{\cos \varphi \cdot \sin \alpha_p} b_k \times \\ \times \left(h_b \cdot q_0 \cdot \left(1 + \frac{h_b}{2b_k} \operatorname{ctg} \gamma \right) + \right. \\ \left. \left(h_{kp,k} - h_b \right) \left(q_b + \frac{q_{kp} - q_b}{2} k_{\text{пер}} \right) \right) \times \\ \times (\operatorname{tg} \varphi_0 \cos \psi + \sin \psi) + \\ + c \cdot \left(\begin{array}{l} -2h_b^2 \operatorname{ctg} \gamma_k + 2h_b h_{kp,k} \operatorname{ctg} \gamma_k - \\ -h_b^2 \operatorname{ctg} \gamma + b_k h_{kp,k} \end{array} \right) \operatorname{ctg} \psi + \\ + \left(h_{kp,k} - h_b \right)^2 (\operatorname{ctg} \alpha_p + \operatorname{ctg} \psi) \times \\ \times \left(c \cdot \rho \cdot \operatorname{ctg} \psi + c \frac{\cos \delta \cos \psi}{\cos \lambda} + \right. \\ \left. \left. + 2 \cos \delta \cdot \zeta \left(\frac{3q_b + (q_{kp} - q_b)}{6} k_{\text{пер}} \right) \times \right. \right. \\ \left. \left. \times \cos \rho \cdot \cos \psi \cdot \operatorname{tg} \varphi_0 \right) \right). \quad (6)$$

Робочі органи у верхньому ярусі при блокованому різанні утворюють прорізи з кутом нахилу стінок прорізу до горизонту γ . Відстань між робочими органами верхнього яруса є максимальною шириною комбінованого різання ґрунту. Якщо зменшувати відстань між ґрунторозробними органами верхнього яруса ($\gamma_k < \gamma$), тоді виникає боковий тиск ζq на бічних гранях елемента стружки, внаслідок чого зростає сила та енергоємність різання ґрунту [2]. Для забезпечення мінімальної енергоємності відстань між ґрунторозробними органами у верхньому ярусі обирається такою, щоб кут бокового зміщення робочих органів у нижньому ярусі відносно робочих органів першого яруса був рівним куту нахилу бічних стінок прорізу до горизонту ($\gamma_k = \gamma$). При цьому відсутній бічний тиск і сила бічного тертя на бічних стінках елемента стружки, забезпе-

чується незалежна робота ґрунторозробних органів і вираз для визначення сили комбінованого різання (6) на критичній глибині запишеться у вигляді

$$P_k = - \frac{\cos(\alpha_p + \varphi + \psi)}{\cos \varphi \cdot \sin \alpha_p} b_k \times \\ \times \left(h_b \cdot q_0 \cdot \left(1 + \frac{h_b}{2b_k} \operatorname{ctg} \gamma \right) + \right. \\ \left. + \left(h_{kp,k} - h_b \right) \left(q_b + \frac{q_{kp} - q_b}{2} k_{\text{пер}} \right) \right) \times \\ \times (\operatorname{tg} \varphi_0 \cos \psi + \sin \psi) + \\ + c \cdot \left(\begin{array}{l} -2h_b^2 \operatorname{ctg} \gamma_k + 2h_b h_{kp,k} \operatorname{ctg} \gamma_k - \\ -h_b^2 \operatorname{ctg} \gamma + b_k h_{kp,k} \end{array} \right) \operatorname{ctg} \psi + \\ + \left(h_{kp,k} - h_b \right)^2 (\operatorname{ctg} \alpha_p + \operatorname{ctg} \psi) \times \\ \times c \cdot \left(\rho \cdot \operatorname{ctg} \psi + \frac{\cos \delta \cdot \cos \psi}{\cos \lambda} \right). \quad (7)$$

Для розпушування ґрунту глибина розпушування є вихідним параметром. Для забезпечення розпушування ґрунту на критичній глибині при зміні глибини розпушування і кута різання ширина різання для кожного конкретного випадку обчислюється за формулою [4]

$$b_k = \frac{h_k \cdot (\operatorname{tg} \alpha_p)^{n_k}}{a_k}.$$

Графіки залежності сили комбінованого різання P_k від кута різання для різних типів ґрунту зображені на рис. 3.

Як видно із графіків на рис. 3, 4, зі збільшенням глибини та кута різання спостерігається прискорене збільшення сили комбінованого різання для всіх типів ґрунту.

Для оцінки енергоефективності процесу глибокого розпушування ґрунтів на критичній глибині визначимо енергоємність комбінованого різання ґрунту

$$E_k = \frac{A_k}{V_k} = \frac{P_k \cdot L}{F_k \cdot L}, \quad (8)$$

де A_k – робота, виконана ґрунторозробним органом при комбінованому різанні ґрунту; L – довжина переміщення ґрунторозробного

органу; V_k – об’єм розпущеного ґрунту; F_k – площа поперечного перерізу розпущеного шару ґрунту при комбінованому різанні

$$F_k = h_{kp,k} \cdot b_k + (h_{kp,k} - h_b)^2 \cdot \operatorname{ctg}\gamma_k + h_b^2 \operatorname{ctg}\gamma. \quad (9)$$

Аналогічно визначається енергоємність комбінованого різання ґрунту при комбіно-

ваному різанні на критичній глибині за відсутності бічного тиску та сили бічного тертя з урахуванням залежності (7).

Графіки залежності енергоємності розпушування ґрунту від кута різання α_p на критичній глибині комбінованого різання наведені на рис. 5.

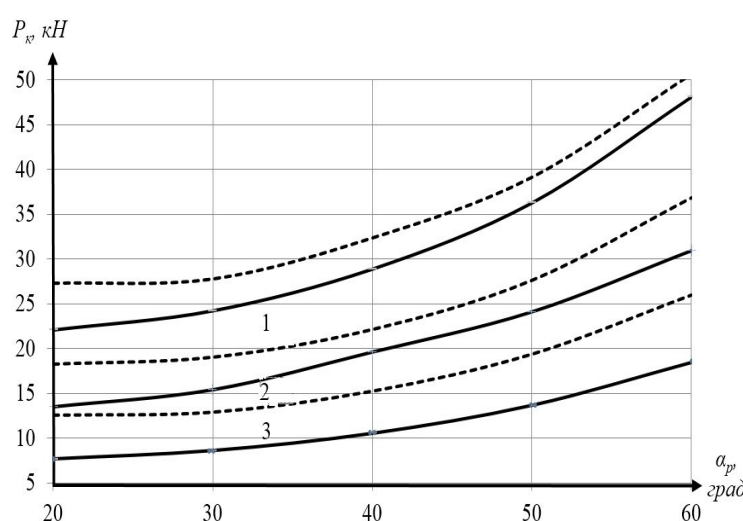


Рис. 3. Залежність сили комбінованого різання ґрунту від кутів різання α_p за заданого значення глибини різання $h_{kp,k}=0,6$ м, $h_b=0,3$ м: 1 – напівтверда глина; 2 – напівтвердий суглинок; 3 – твердий супісок; ----- – сила різання з урахуванням бокового тиску та сили бічного тертя при $\gamma_k = 80^\circ$; ——— – сила різання за відсутності бокового тиску та сили бічного тертя $\zeta q = 0$

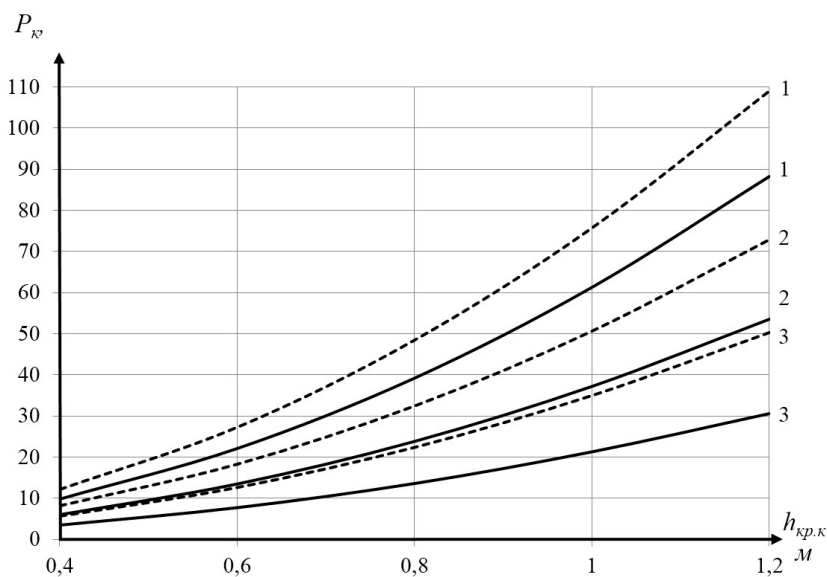


Рис. 4. Залежність сили комбінованого різання ґрунту від глибини різання $h_{kp,k}$, враховуючи, що ($h_{kp,k} = 2h_{kp,bl}$) для кута різання $\alpha_p = 20^\circ$: 1 – напівтверда глина; 2 – напівтвердий суглинок; 3 – твердий супісок; ----- – сила різання з урахуванням бокового тиску та сили бічного тертя при $\gamma_k = 80^\circ$; ——— – сила різання за відсутності бокового тиску та сили бічного тертя $\zeta q = 0$

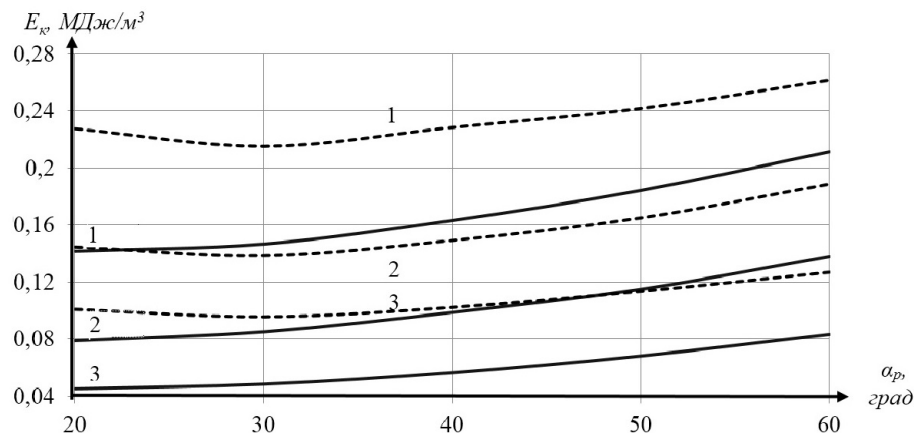


Рис. 5. Залежність енергоємності комбінованого різання грунту від кута різання α_p за заданого значення глибини різання $h_{\text{кр},k}=0,6 \text{ м}$, $h_v=0,3 \text{ м}$: 1 – напівтврда глина; 2 – напівтврдий суглинок; 3 – твердий супісок; ----- – енергоємність з урахуванням бокового тиску та сили бічного тертя при $\gamma_k = 80^\circ$; ——— – енергоємність за відсутності бокового тиску та сили бічного тертя $\zeta_q = 0$

Як видно з рис. 5, за сталого значення глибини різання спостерігається збільшення енергоємності комбінованого різання грунту зі збільшенням кута різання. При розпушуванні грунту у стисненому просторі енергоємність різання грунту значно зростає, порівняно з різанням грунту за відсутності бічного тиску та сили бічного тертя. Це відбувається за рахунок збільшення сили різання (рис. 3) та зменшення площин зруйнованого шару грунту. Для твердого супіску найменші значення коефіцієнта енергоємності розпушування грунту спостерігаються при куті різання $\alpha_p = 20^\circ \div 30^\circ$. Для напівтврдого суглинку при $\alpha_p = 20^\circ \div 25^\circ$. Для напівтврдої глини при $\alpha_p = 20^\circ \div 28^\circ$.

Висновки

Сила комбінованого різання двоярусного розпушувача (критична глибина розпушення – 0,6 м) зі збільшенням кута різання від 20° до 60° для різних ґрунтів збільшується по криволінійній залежності від 7,67 кН до 48,08 кН, при незалежній роботі ґрунторозробних органів, і від 12,55 кН до 50,64 кН – при їх залежній роботі. Зниження сили комбінованого різання при незалежній роботі становить 16–39 %.

Зі збільшенням критичної глибини розпушення ($\alpha_p=20^\circ$) від 0,4 м до 1,2 м сила комбінованого різання зростає для різних ґрунтів від 3,38 кН до 88,26 кН, при незалежній роботі ґрунторозробних органів, і

від 5,58 кН до 108,96 кН – при їх залежній роботі.

При руйнуванні грунту на критичній глибині енергоємність розпушування грунту є постійною для кожного кута різання незалежно від глибини розпушування. Мінімальна енергоємність комбінованого різання грунту спостерігається при кутах різання ножа $\alpha_p=20^\circ \div 30^\circ$.

Література

- Станевский В.П. Совершенствование рабочего процесса землеройных машин / В.П. Станевский. – К.: Вища школа. Изд-во КГУ, 1984. – 128 с.
- Кравець С.В. Грунтозахисні та енергозберігаючі машини для прокладання підземних комунікацій. / С.В. Кравець. – Рівне: РДТУ, 1999. – 278 с.
- Хмара Л.А. Машини для земляних робіт / Л.А. Хмара. – Рівне – Дніпропетровськ – Харків. – 2010. – 558 с.
- Кравець С.В. Визначення сили блокованого різання та коефіцієнта енергоємності розпушування грунту / С.В. Кравець, О.В. Стіньо // Науковий вісник НГУ. – 2016. – №3. – С. 24–28.
- Ветров Ю.А. Резаніє грунтов землеройними машинами / Ю.А. Ветров. – М.: Машиностроєння, 1972. – 360 с.

Рецензент: Є.С. Венцель, професор, д.т.н., ХНАДУ.